

# SEVRAGE RESPIRATOIRE DIFFICILE: ORIGINE CARDIAQUE?

Pr Alexandre OUATTARA

Service d'Anesthésie-Réanimation cardiovasculaire

Biologie des maladies cardiovasculaires, INSERM UMR 1034

Hôpital Haut-Lévêque, Université de Bordeaux, France

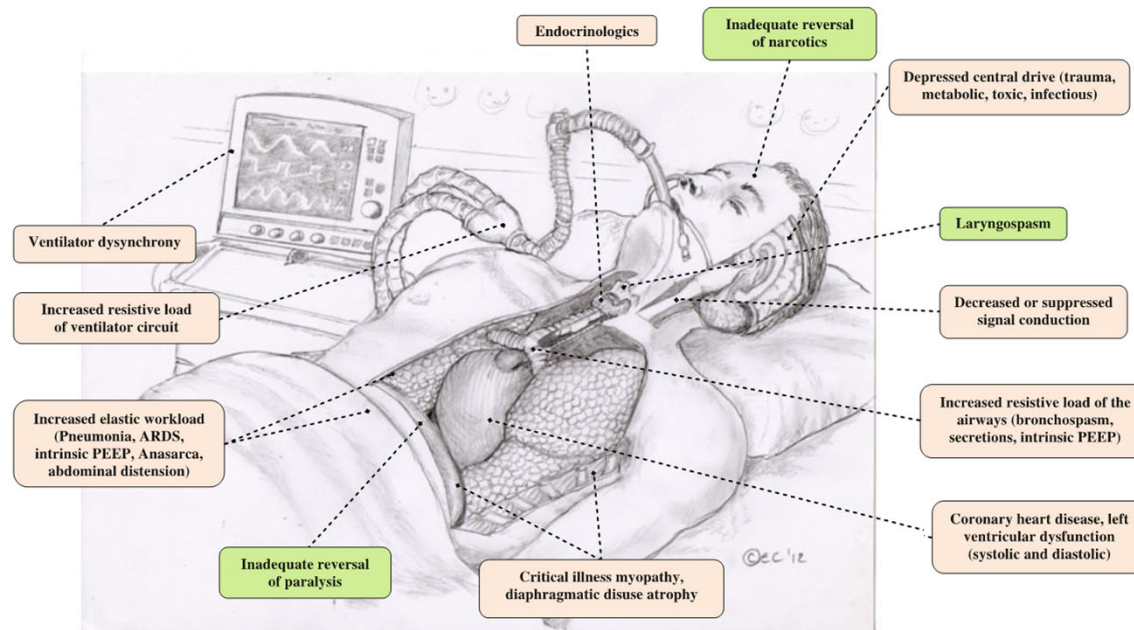
Email: [alexandre.ouattara@chu-bordeaux.fr](mailto:alexandre.ouattara@chu-bordeaux.fr)



université  
de BORDEAUX



## ECHEC DU SEVRAGE RESPIRATOIRE: DES ORIGINES DIVERSES...



Perren A et al. *Intensive Care Med* 2013; 39:1885-95

REVIEW

## Weaning failure of cardiac origin: recent advances

Jean-Louis Teboul\*, Xavier Monnet, and Christian Richard

---

---

---

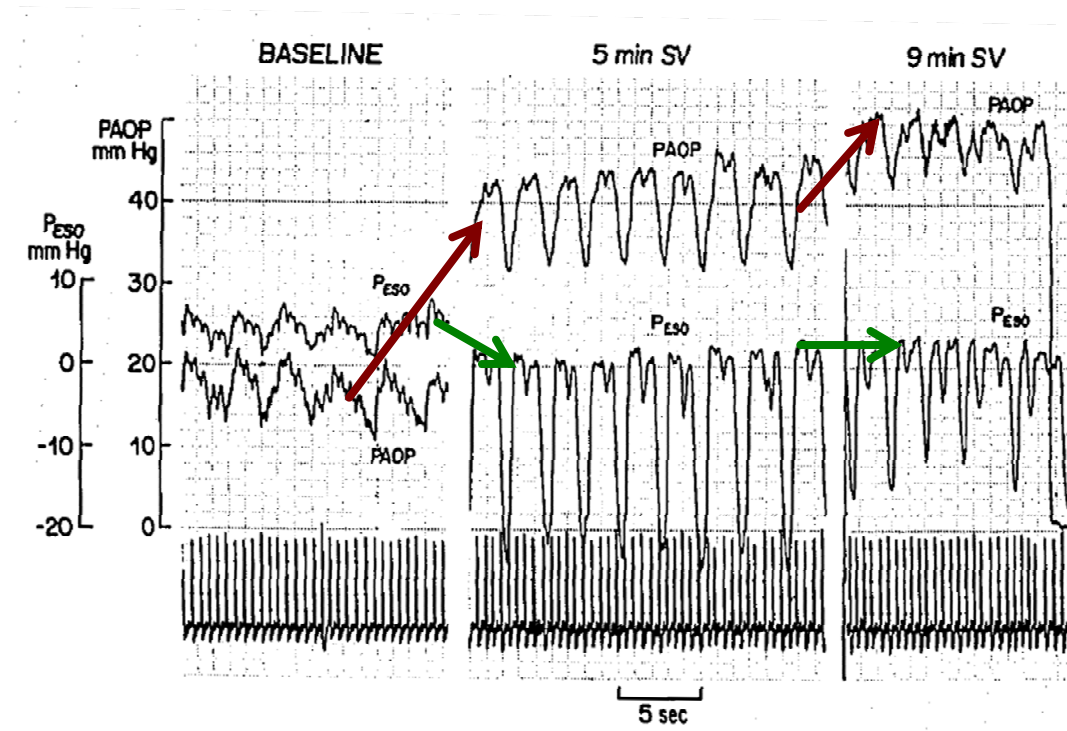
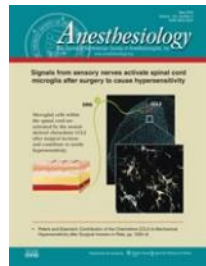
## *Acute Left Ventricular Dysfunction during Unsuccessful Weaning from Mechanical Ventilation*

### 15 pts BPCO porteurs pathologie cardiaque

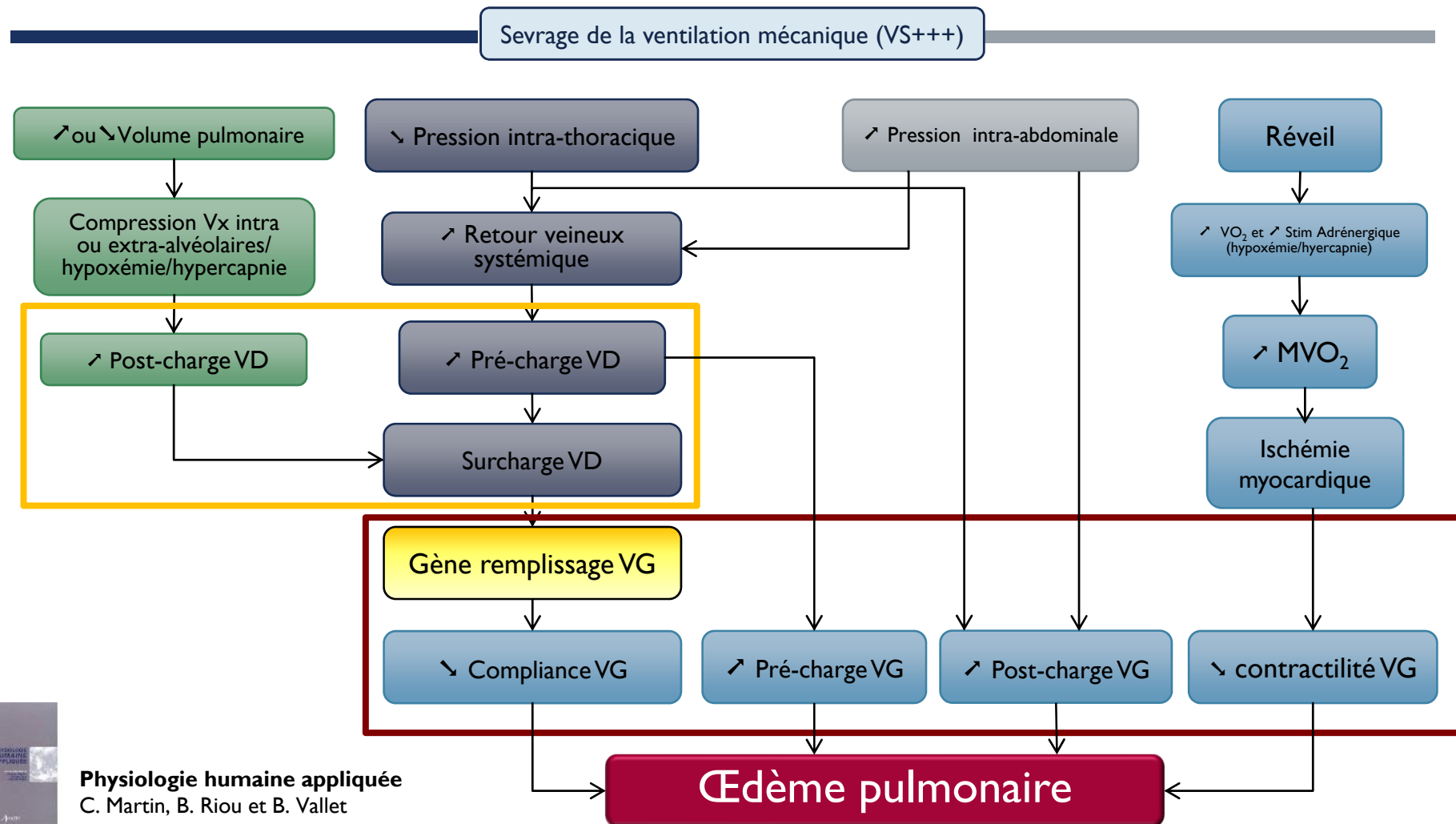
- Passage en ventilation spontanée (10 min)
- Pression oesophagienne  de +5 à -2 mmHg
- DC  de 3,2 à 4,3 L.min<sup>-1</sup>
- FC  de 77 à 90 bpm
- PAPO  8 à 20 mmHg



Lemaire F. et al. Anesthesiology 1988; 69:171-9

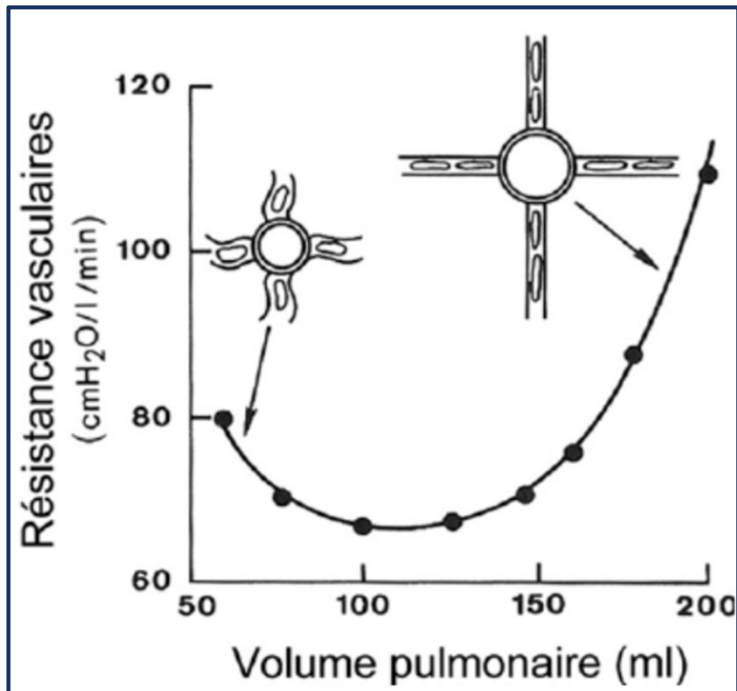


Lemaire F et al. Anesthesiology 1988; 69:171-9

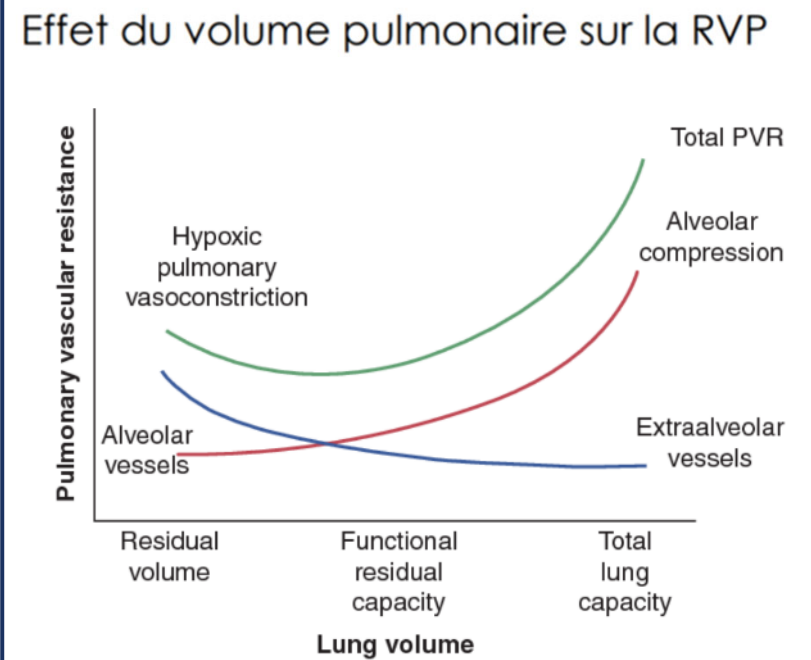


Physiologie humaine appliquée  
C. Martin, B. Riou et B. Vallet

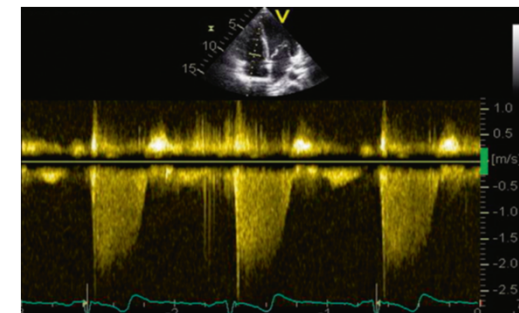
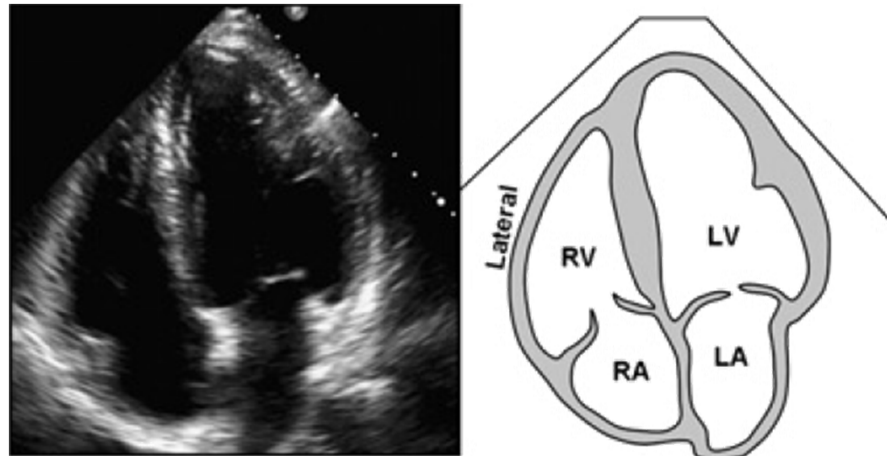
## Volume pulmonaire et Résistances Vasculaires Pulmonaires



### Effet du volume pulmonaire sur la RVP



## ANALYSE ECHO VD: INCIDENCE APICALE 4 CAVITES

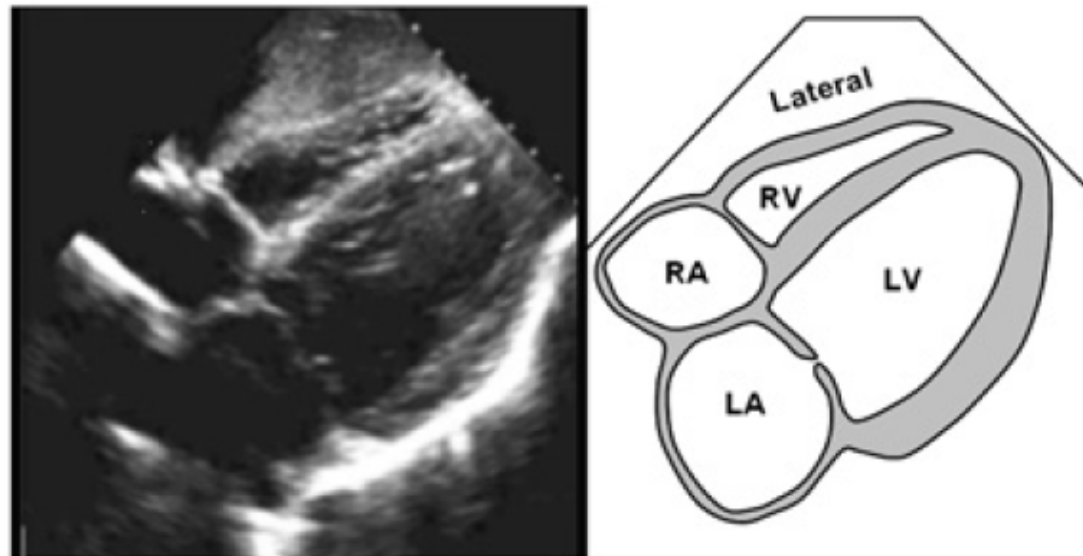


- Paroi libre (distension des cavités)
- Mesure FR VD (Fractional area change), TAPSE (mode TM), Tissue doppler (Pic S')
- Estimation pression artérielle pulmonaire (systolique)

---

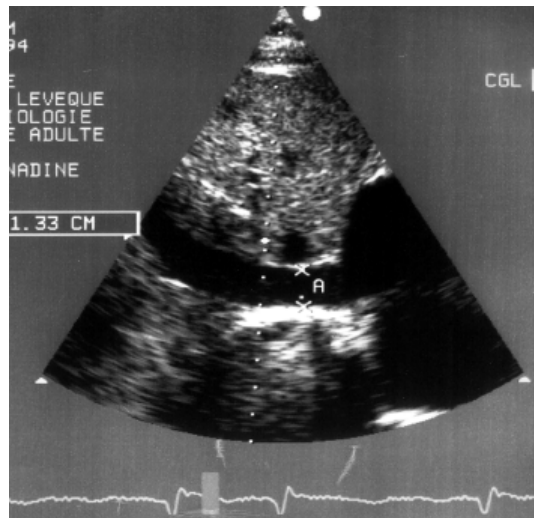
## ANALYSE ECHO VD: INCIDENCE SOUS-COSTALE 4 CAVITES

- Dilatation des cavités droites
- Epaississement paroi libre VD

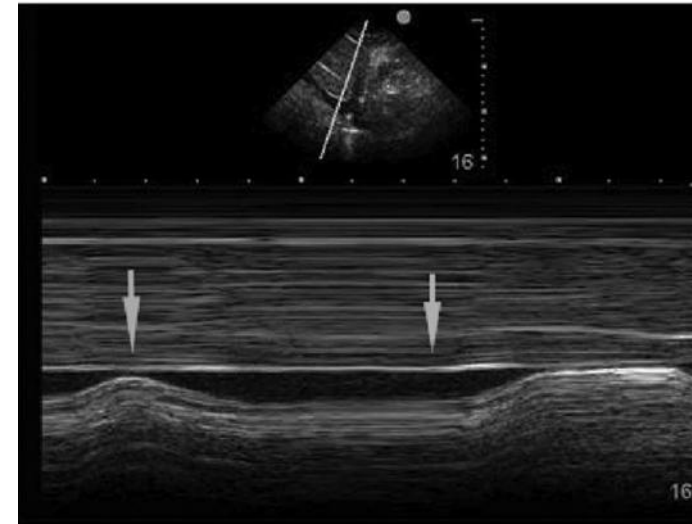


## ANALYSE ECHO VD: INCIDENCE SOUS-COSTALE 4 CAVITES

- Analyse VCI (distension, variabilité)

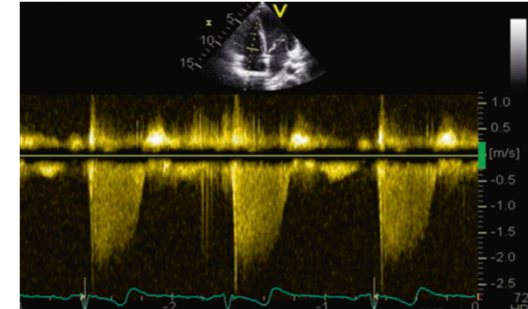


Mesure à 1-2 cm de l' abouchement OD  
(N= 14-17 mm)

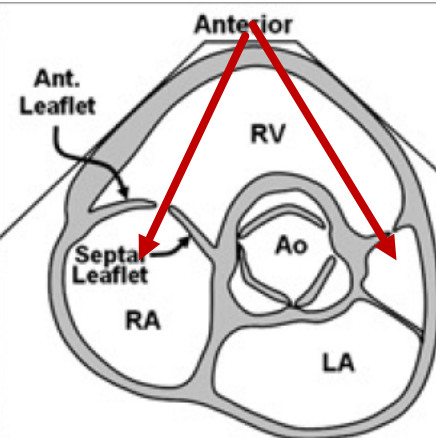
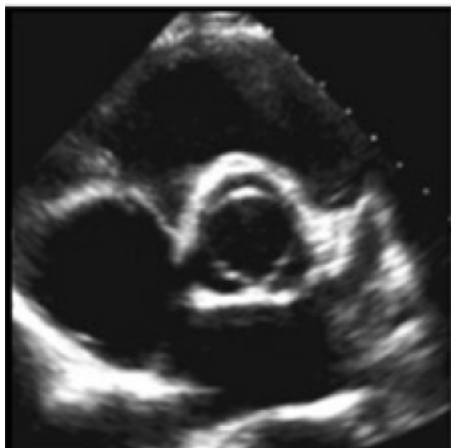


## ANALYSE ECHO VD: INCIDENCE PSG PETIT AXE-BASALE

- Tricuspid (feuillet antérieur et septal)
- Flux régurgitation tricuspid (PAP systolique)
- Flux d'éjection pulmonaire (Doppler pulsé)



$$PAPs = 4V_{max}^2 + POD$$

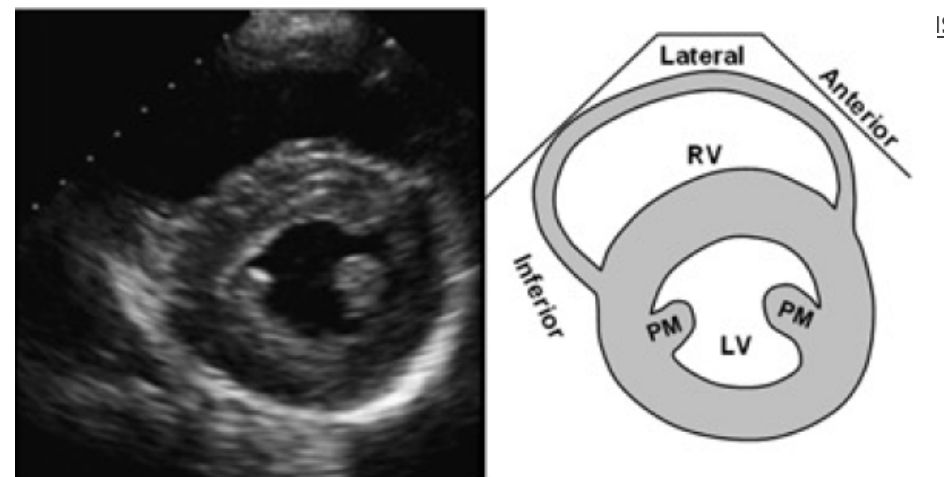


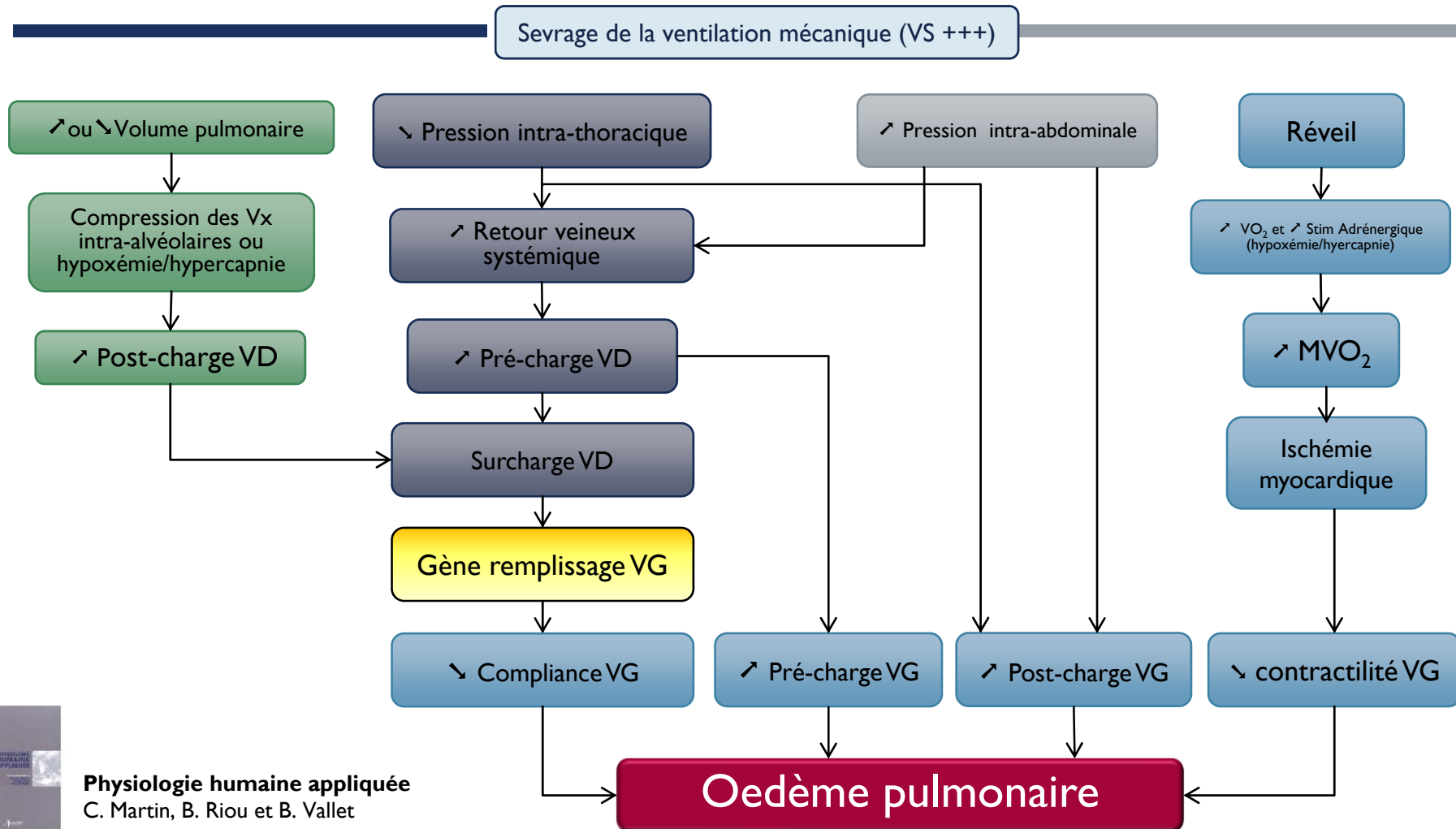
Temps d'accélération flux pulmonaire > 130 ms

---

## ANALYSE ECHO DU VD: INCIDENCE PSG PETIT AXE-TRANSPLILIER

- Cinétique VD/VG
- Surcharge systolique VD
- Analyse septum interventriculaire



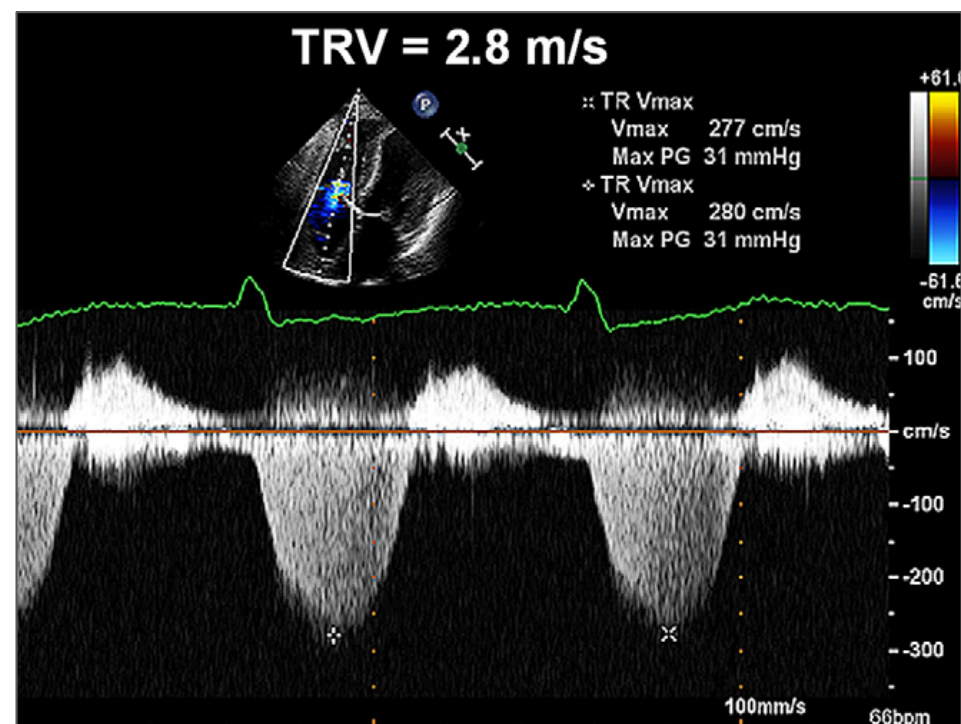


Physiologie humaine appliquée  
C. Martin, B. Riou et B. Vallet

## Analyse régurgitation tricuspidé

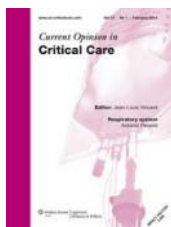
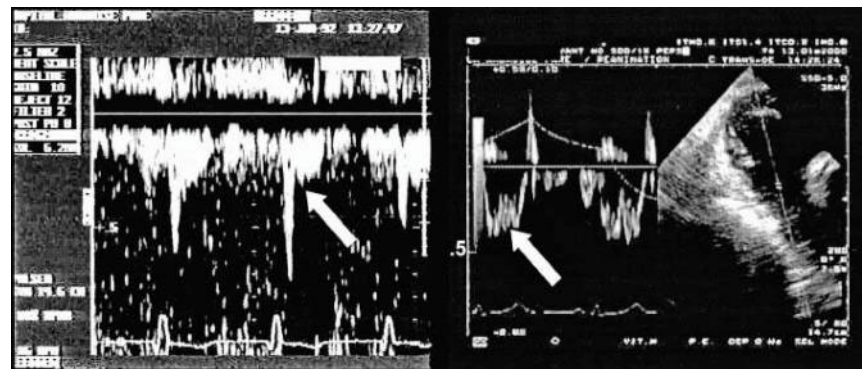
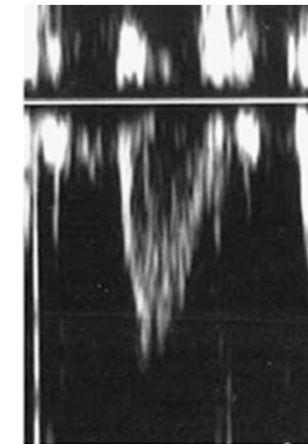
Vitesse maximale (HTAP si  $> 3 \text{ m.s}^{-1}$ )

Mesure PAPs ( $\text{PAPs} = 4V_{\text{max}}^2 + \text{POD}$ )



## Analyse flux d'éjection pulmonaire

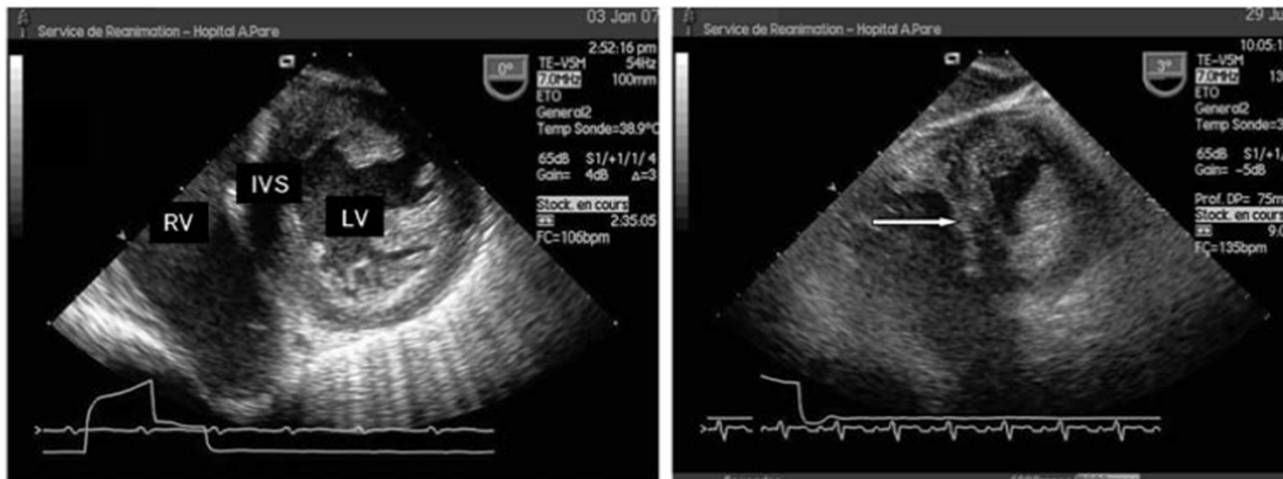
- Raccourcissement du temps d'accélération < 90-100 ms
- Aspect flux biphasique du flux d'éjection pulmonaire
- Signe d'augmentation post-charge VD



Veillard Baron A. *Current Opinion in Critical Care* 2009, 15:254–260

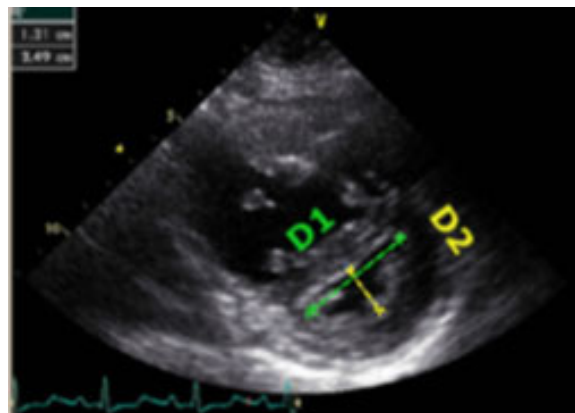
## ANALYSE MORPHOLOGIQUE (SURCHARGE SYSTOLIQUE DU VD)

- Septum plat ou paradoxal



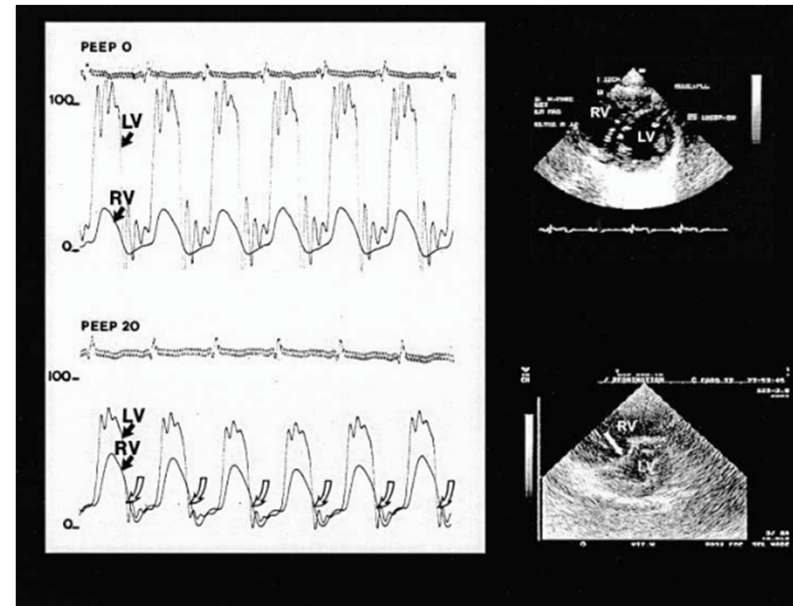
Veillard Baron A. *Current Opinion in Critical Care* 2009, 15:254–260



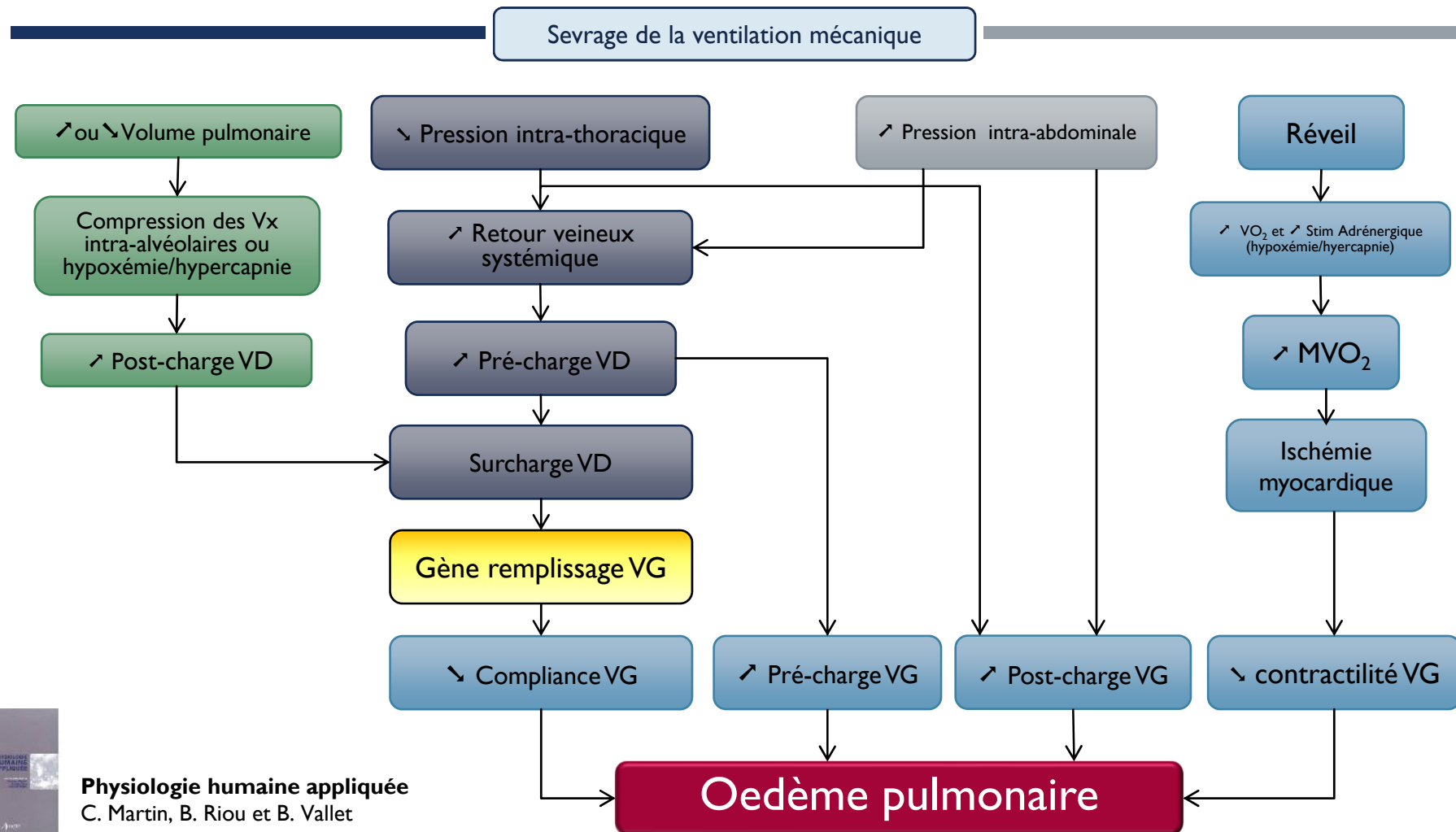


## Index d'excentricité

- Valeur normale  $D_2/D_1 = 1$  (Pathologique  $> 1$ )



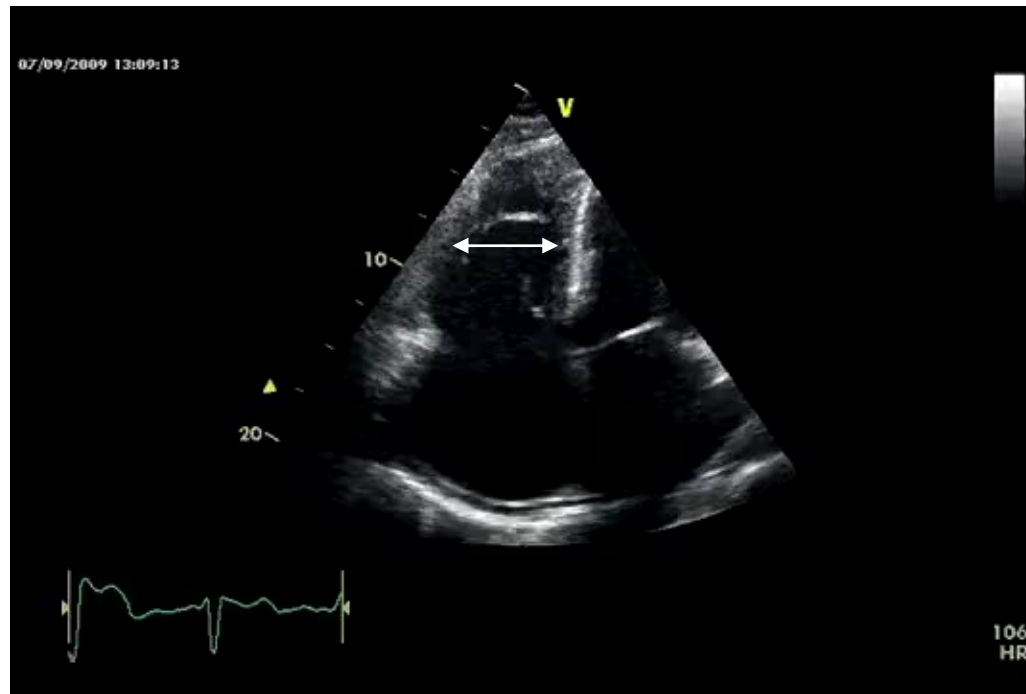
Veillard-Baron A et al. Am J Resp Crit Care Med 2002; 166:1310-9



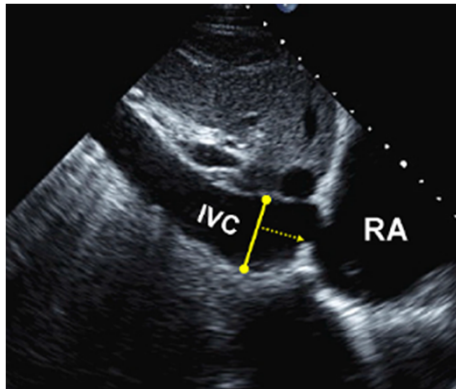
Physiologie humaine appliquée  
C. Martin, B. Riou et B. Vallet

- 
- 7 patients BPCO
  - Sans dysfonction cardiaque gauche préalable
  - Cathéter de Swan-Ganz
    - Augmentation PAP 25 à 28 mmHg au sevrage
    - Pas de modification significative FEVD 0,36 à 0,35
    - **Volume télé-diastolique VD 117 à 126 ml**

Teboul JL, *Intensive Care Med.* 1988;14 Suppl 2:483-5



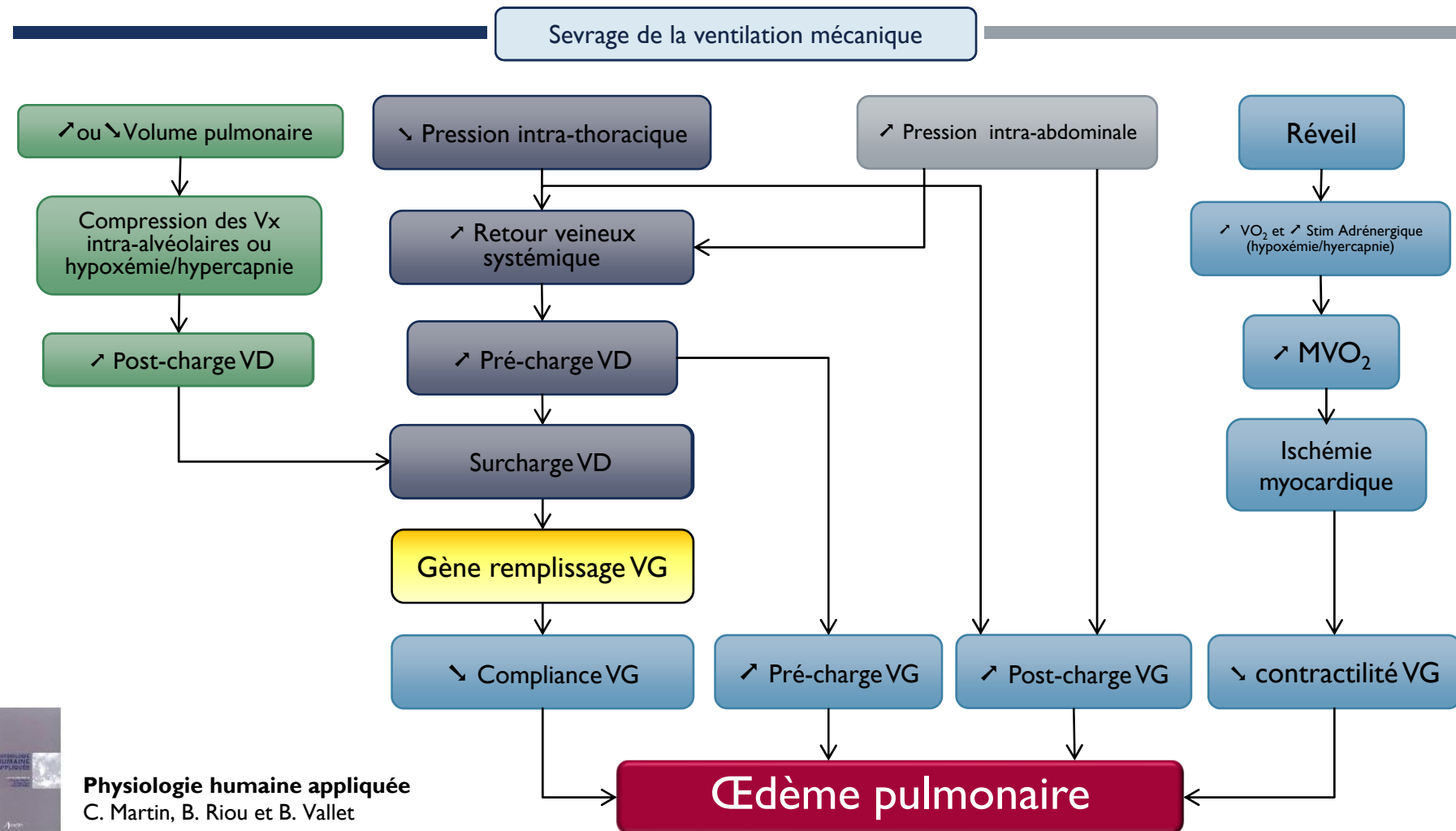
Incidence apicale 4 cavités



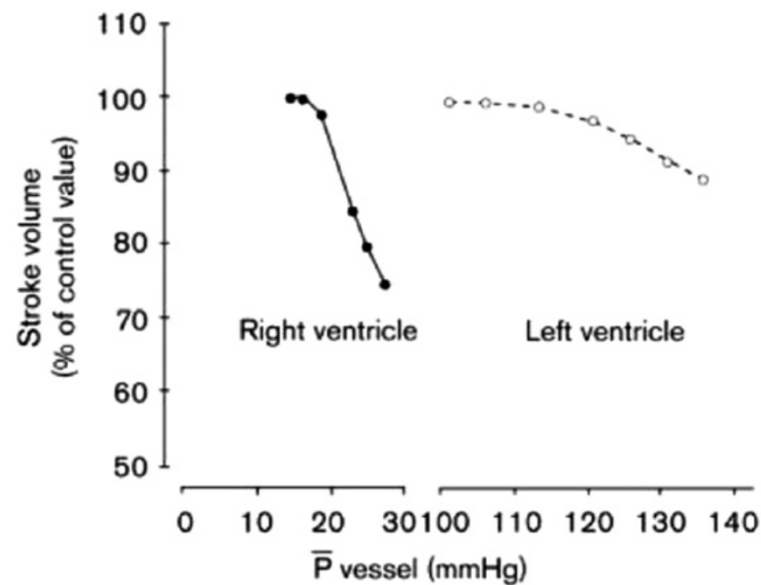
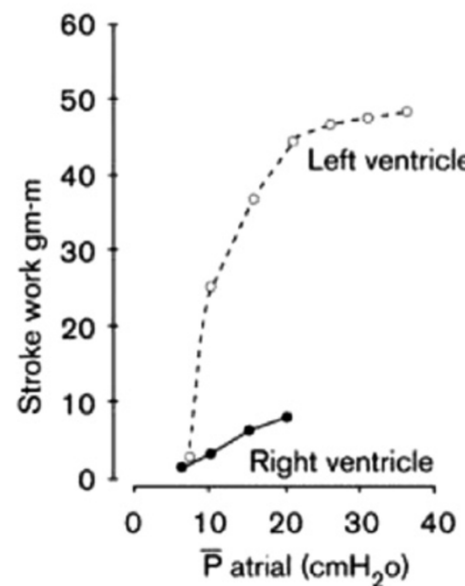
### Incidence sous-costale 4 cavités (centrée sur VCI)

**Table 3** Estimation of RA pressure on the basis of IVC diameter and collapse

Variable	Normal (0-5 [3] mm Hg)	Intermediate (5-10 [8] mm Hg)	High (15 mm Hg)
IVC diameter	$\leq 2.1$ cm	$\leq 2.1$ cm	$>2.1$ cm
Collapse with sniff	>50%	<50%	>50%
Secondary indices of elevated RA pressure			<p><math>&gt;2.1</math> cm  <math>&lt;50\%</math></p> <ul style="list-style-type: none"> <li>• Restrictive filling</li> <li>• Tricuspid E/E' &gt; 6</li> <li>• Diastolic flow predominance in hepatic veins (systolic filling fraction &lt; 55%)</li> </ul>

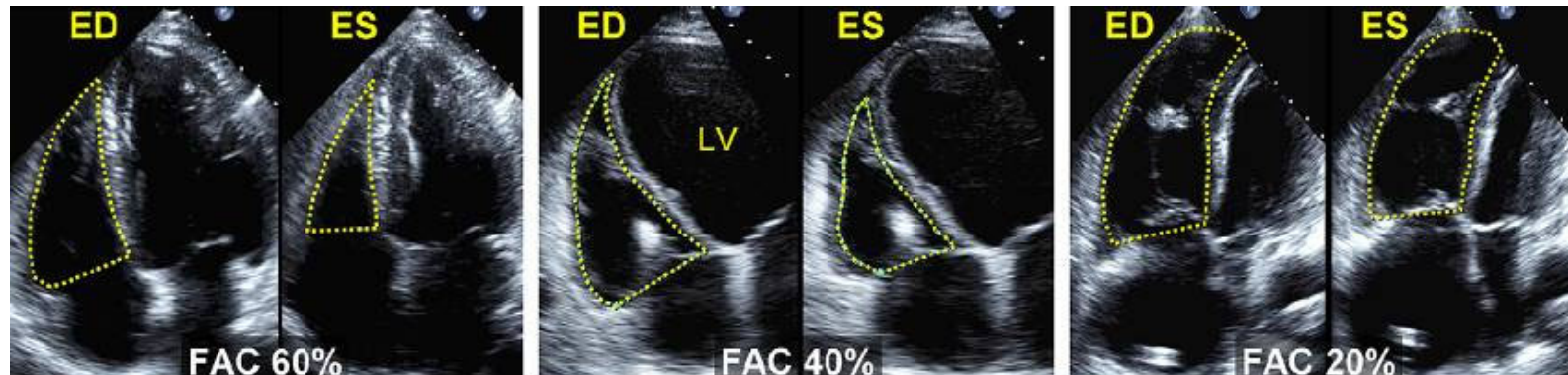


## Réponse adaptive différente aux conditions de charge.....



Ventetuolo CE et al. Ann Am Thorac Soc 2014; 11:811-22

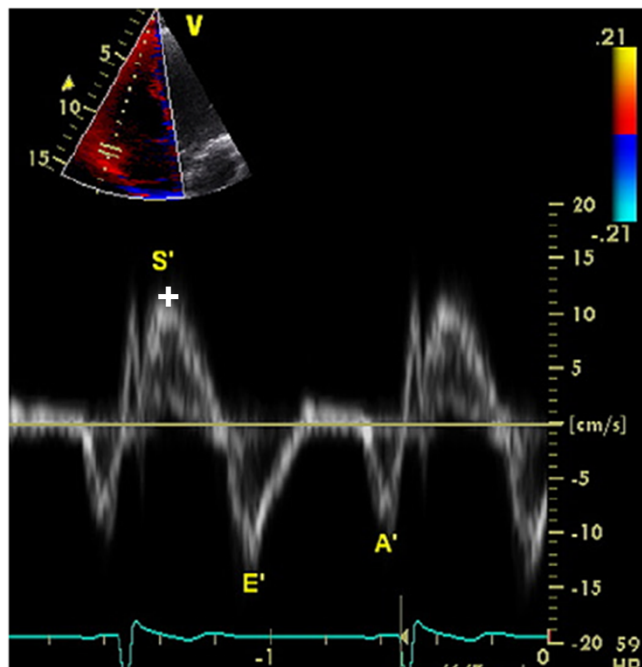
## FRACTION DE RACCOURCISSEMENT DE SURFACE (FRS OU FAC)



$$\text{FAC} = [(\text{STDVD} - \text{STSVD}) / \text{STDVD}] \times 100$$

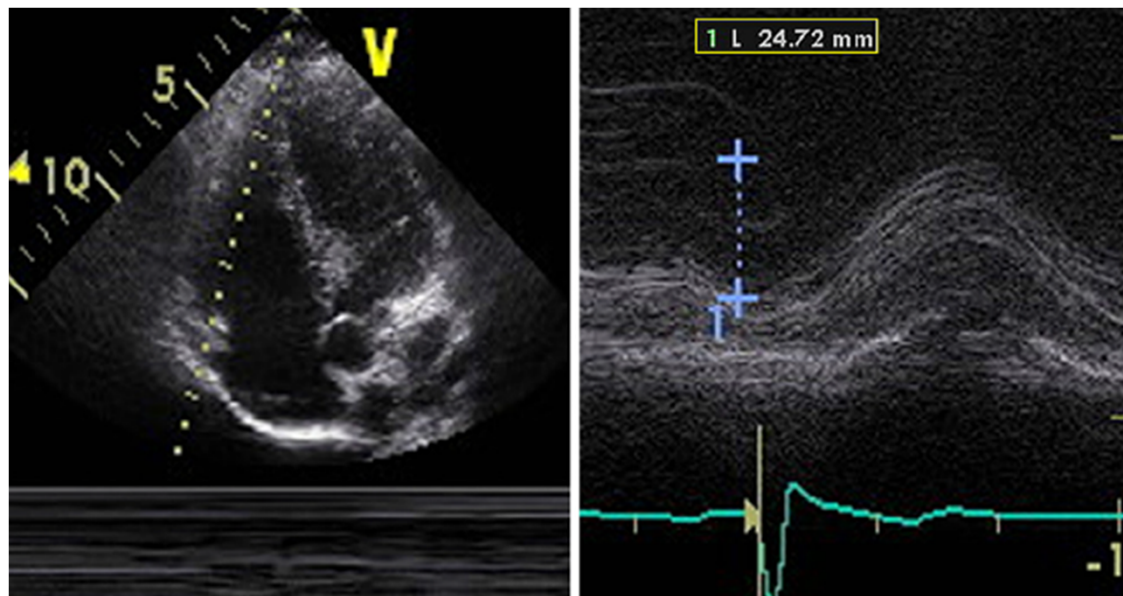
**(valeur normale = 50%)**

## PIC VÉLOCITÉ SYSTOLIQUE À L'ANNEAU TRICUSPIDIEN EN DOPPLER TISSULAIRE (ONDE S')



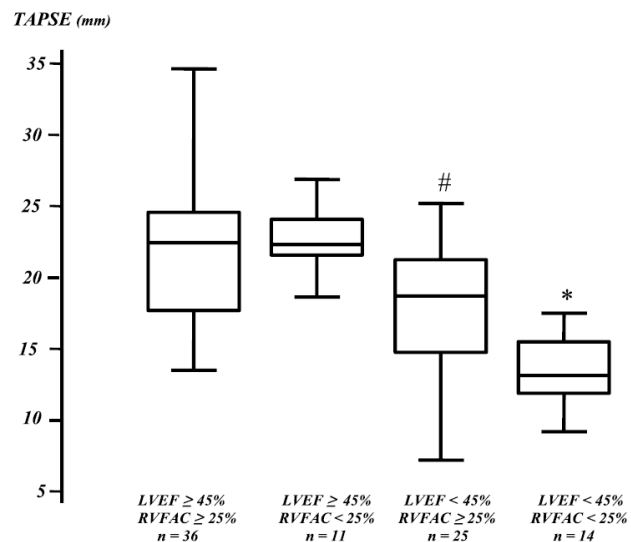
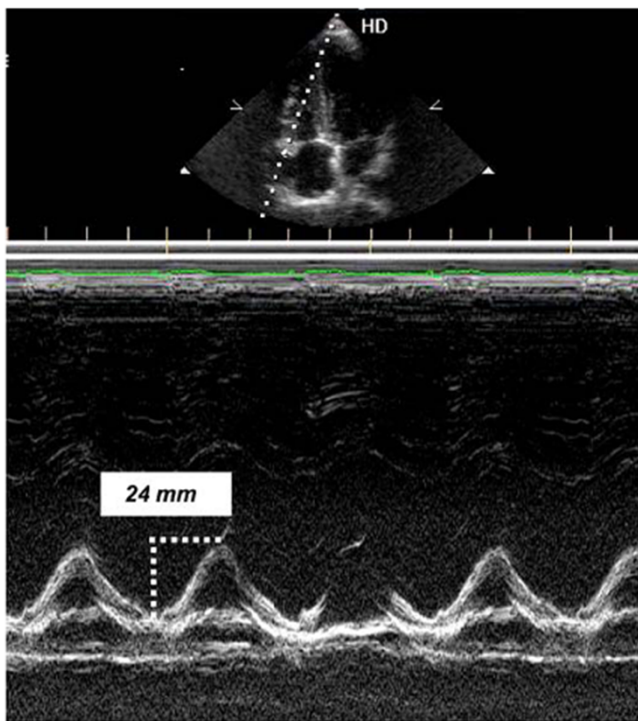
- Angle entre bord libre VD et curseur  $<30^\circ$
- Dysfonction VD si  $<10$  cm/s

## TRISCUPID ANNULAR PLANE SYSTOLIC EXCURSION (TAPSE)



- Angle entre bord libre VD et curseur <30° (dysfonction VD si < 15 mm)

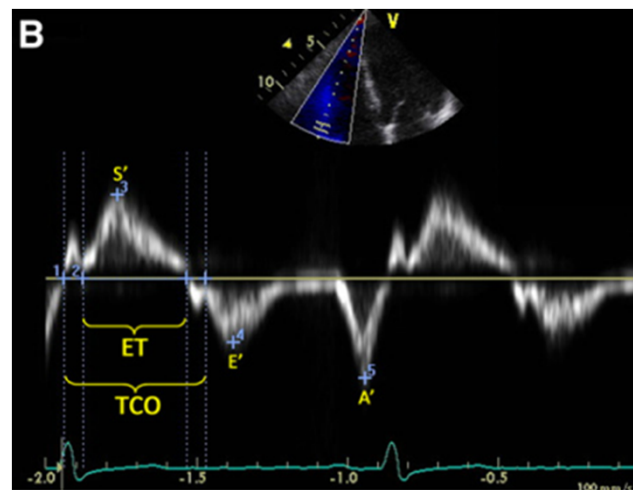
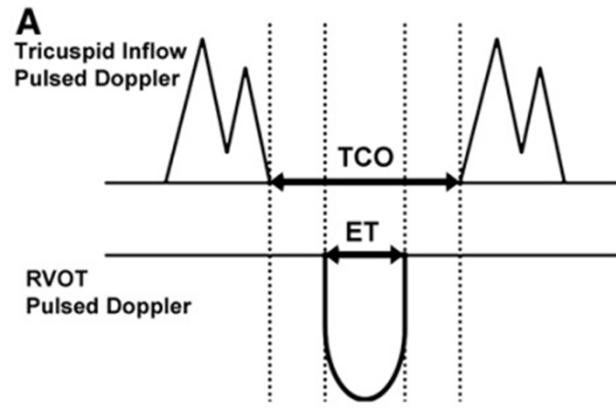
## ANALYSE DU TAPSE POUR LA FONCTION VG AUX VARIATIONS DE CHARGE



Lamia B. Intensive Care Med. 2007 Dec;33(12):2143-9



## INDEX TEI VD



$$\text{Tei index} = (\text{TCO} - \text{TE}) / \text{TE}$$

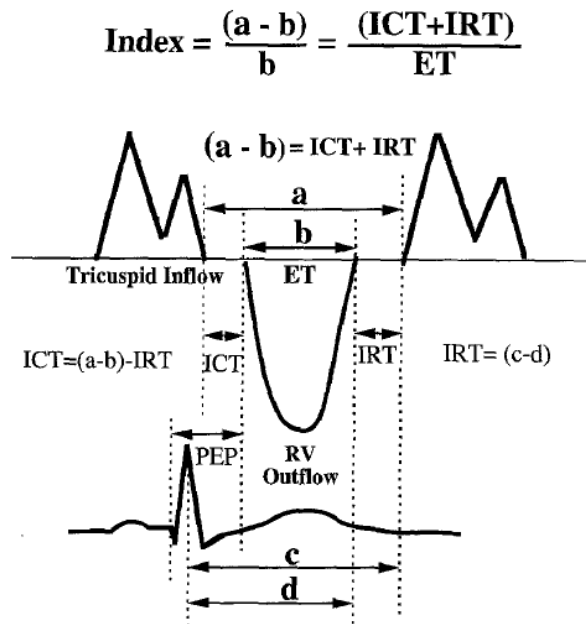
## CALCUL TEIVD (MYOCARDIAL PERFORMANCE INDEX)

TEI Cœur Droit			
	Summary of Doppler intervals		
	Normal subjects	PPH	p Value
PEP (msec)	101 + 13	109 + 19	<0,05
ICT (msec)	38 + 7	80 + 35	<0,001
IRT (msec)	49 + 9	131 + 35	<0,001
ICT + IRT (msec)	90 + 14	214 + 50	<0,001
ET (msec)	322 + 21	242 + 40	<0,001
PEP/ET	0,32 + 0,04	0,46 + 0,10	<0,001
ICT/ET	0,12 + 0,02	0,33 + 0,16	<0,001
Index	0,28 + 0,04	0,89 + 0,25	<0,001

PPH,Primary pulmonary hypertension ICT, isovolumetric contraction time  
IRT, isovolumetric relaxation time ET, ejection time.



Tei C. J Am Soc Echocardiogr 1996;9:838-47



TEI Cœur Gauche		
	Control	CHF
E/A	0.86 +/- 0.27	0.90 +/- 0.44
DT (ms)	203 +/- 42	206 +/- 36
ICT (ms)	43 +/- 17	66 +/- 27
ET (ms)	349 +/- 38	283 +/- 33**
IRT (ms)	93 +/- 16	104 +/- 28
(ICT+IRT)/ET	0.39 +/- 0.1	0.60 +/- 0.18**

CHF=congestive heart failure E=peak velocity of the early diastolic transmural flow A=peak velocity of the late diastolic transmural flow E/A=ratio of peak early vs late transmural flow velocity DT=deceleration time ICT=isovolumic contraction time ET=ejection time IRT=isovolumic relaxation time.

TEI Cœur Droit		
	Summary of Doppler intervals	
	Normal subjects	PPH
PEP (msec)	101 +/- 13	109 +/- 19
ICT (msec)	38 +/- 7	80 +/- 35
IRT (msec)	49 +/- 9	131 +/- 35
ICT + IRT (msec)	90 +/- 14	214 +/- 50
ET (msec)	322 +/- 21	242 +/- 40
PEP/ET	0.32 +/- 0.04	0.46 +/- 0.10
ICT/ET	0.12 +/- 0.02	0.33 +/- 0.16
Index	0.28 +/- 0.04	0.89 +/- 0.25

PPH,Primary pulmonary hypertension ICT,isovolumetric contraction time IRT,isovolumic relaxation time ET,ejection time.

Tei C. J Am Soc Echocardiogr 1996;9:838-47



## FACTEURS PRÉDICTIFS DYSFONCTION VD

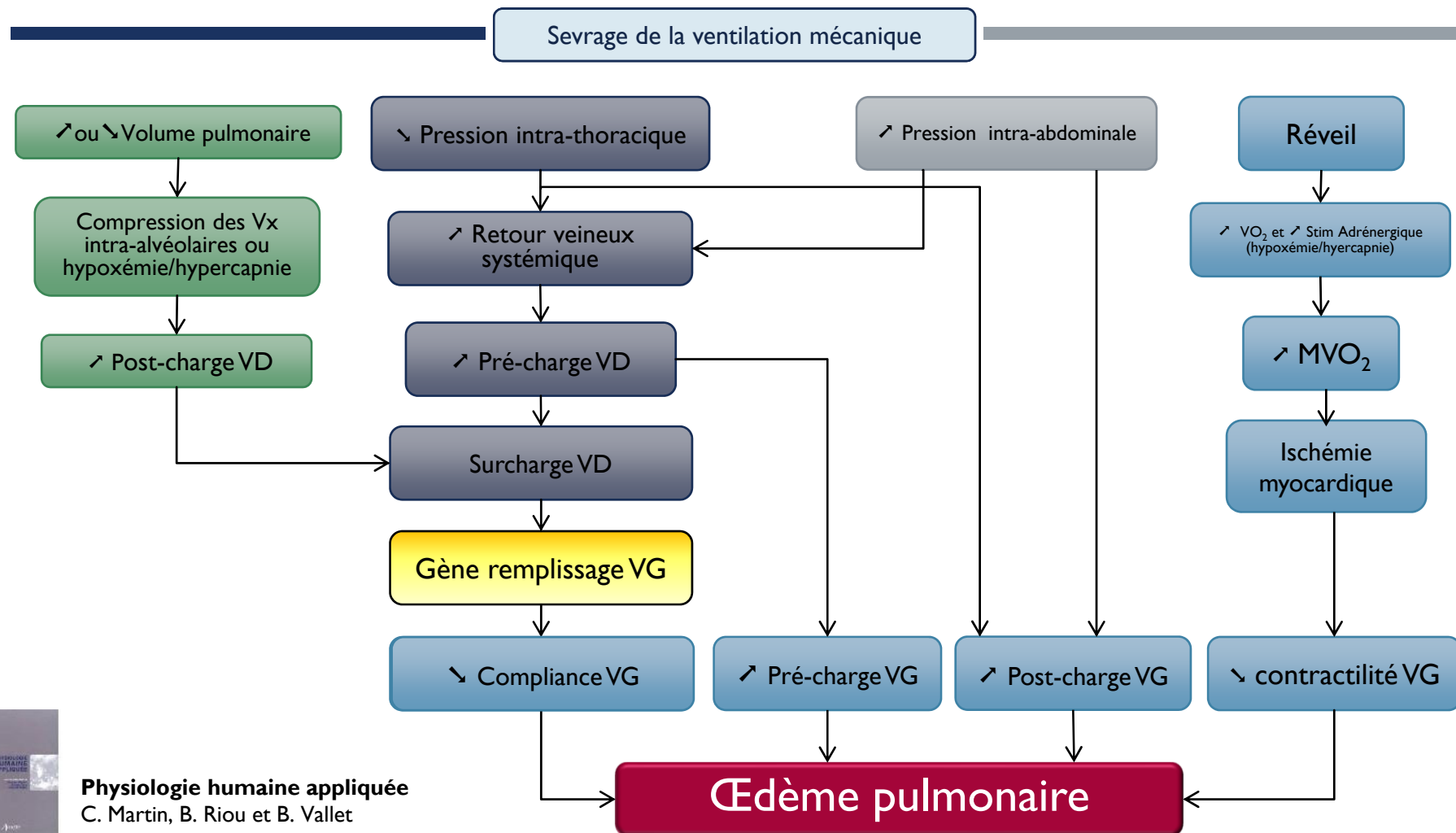
	Sensitivity (%)	Specificity (%)	ROC AUC (95% CI)
TAPSE <1.5 cm	59	94	0.82 (.68–.95)
DTI peak systolic velocity <10 cm/s	59	92	0.83 (.72–.85)
MPI > 0.40	100	35	0.8 (.69–.91)

➤ *MPI= myocardial performance index*

Variable	Unit	Abnormal	Illustration
<b>Chamber dimensions</b>			
RV basal diameter	cm	>4.2	Figure 7
RV subcostal wall thickness	cm	>0.5	Figure 5
RVOT PSAX distal diameter	cm	>2.7	Figure 8
RVOT PLAX proximal diameter	cm	>3.3	Figure 8
RA major dimension	cm	>5.3	Figure 3
RA minor dimension	cm	>4.4	Figure 3
RA end-systolic area	cm <sup>2</sup>	>18	Figure 3
<b>Systolic function</b>			
TAPSE	cm	<1.6	Figure 17
Pulsed Doppler peak velocity at the annulus	cm/s	<10	Figure 16
Pulsed Doppler MPI	—	>0.40	Figure 16
Tissue Doppler MPI	—	>0.55	Figures 16 and 18
FAC (%)	%	<35	Figure 9
<b>Diastolic function</b>			
E/A ratio	—	<0.8 or >2.1	
E/E' ratio	—	>6	
Deceleration time (ms)	ms	<120	

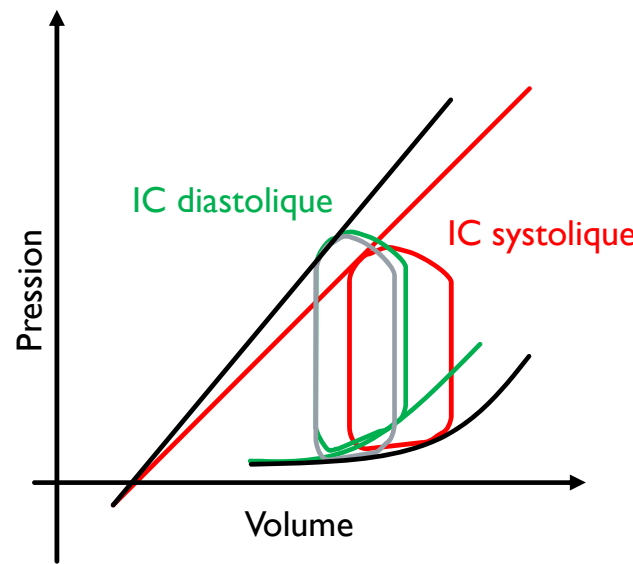
FAC, Fractional area change; MPI, myocardial performance index; PLAX, parasternal long-axis; PSAX, parasternal short-axis; RA, right atrium; RV, right ventricle; RVD, right ventricular diameter; RVOT, right ventricular outflow tract; TAPSE, tricuspid annular plane systolic excursion.





Physiologie humaine appliquée  
C. Martin, B. Riou et B. Vallet

## LA BOUCLE PRESSION / VOLUME



---

---

---

## Echocardiographic diagnosis of pulmonary artery occlusion pressure elevation during weaning from mechanical ventilation\*

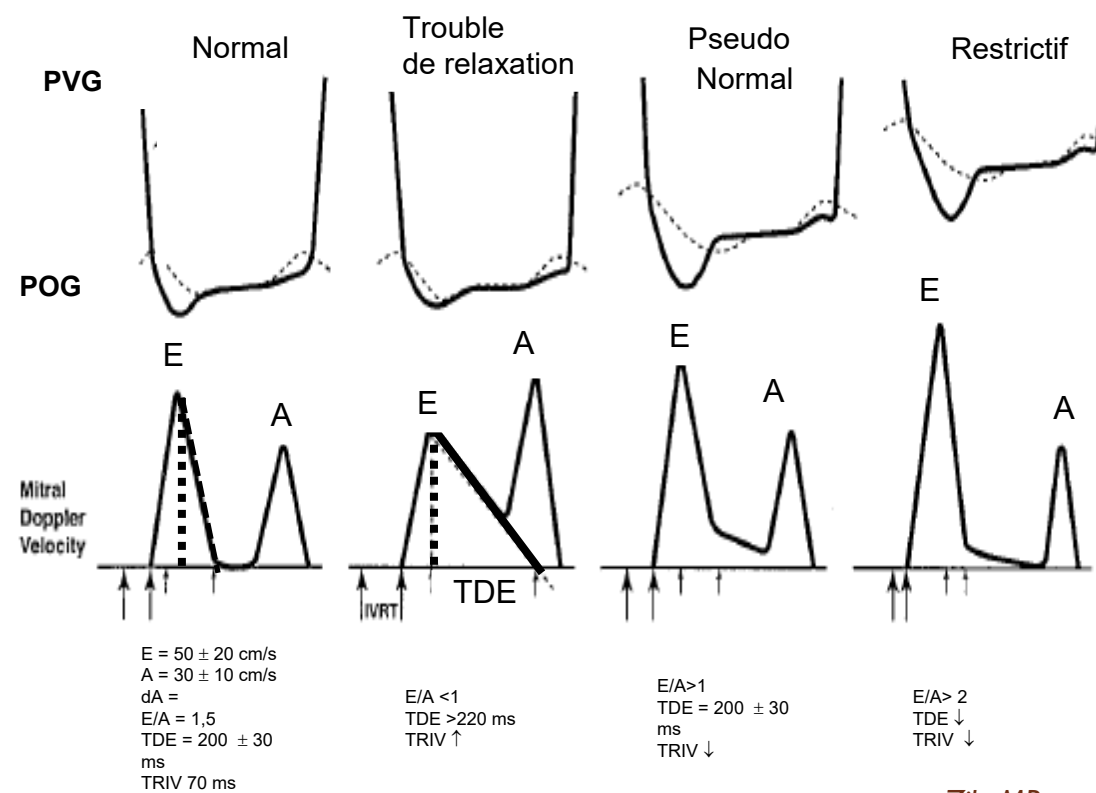
Bouchra Lamia, MD, MPH, PhD; Julien Maizel, MD; Ana Ochagavia, MD; Denis Chemla, MD, PhD; David Osman, MD; Christian Richard, MD; Jean-Louis Teboul, MD, PhD

- 39 patients en échec de mise en RS
- Augmentation PAPO chez 17 patients
- Analyse échographique

Bouchra L. Crit Care Med 2009; 37:1696–1701



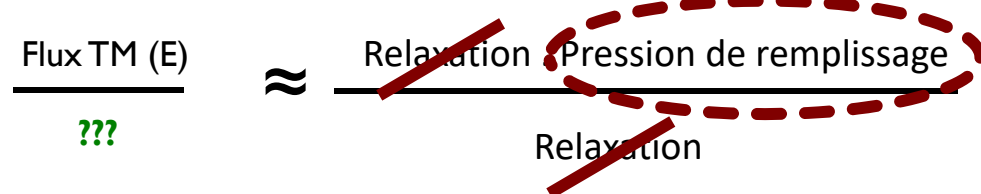
## ANALYSE DU PROFIL TRANSMITRAL



Zile MR et al. Circulation 2002; 105:1387-1393

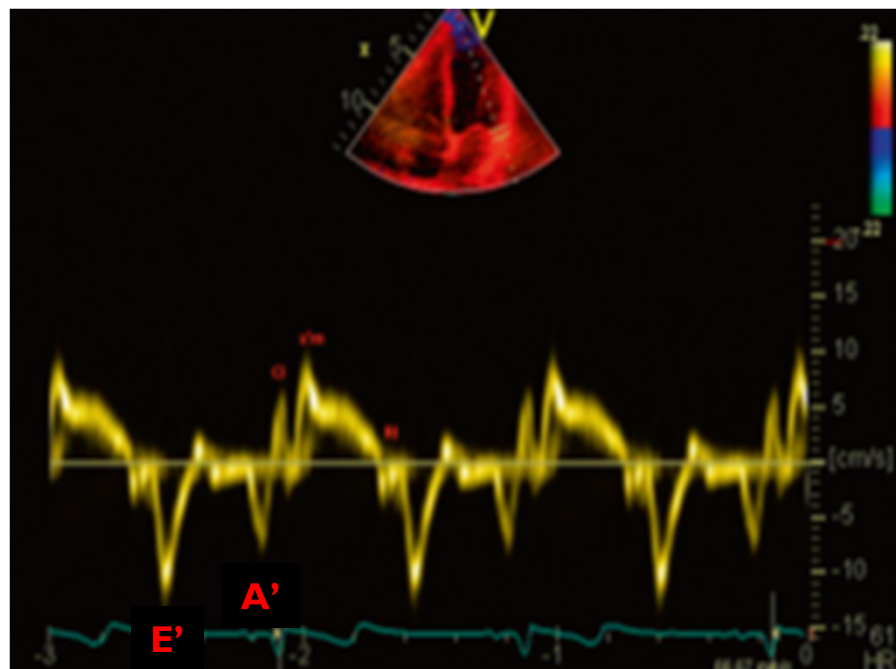
## Flux transmitral et évaluation des pression de remplissage

Ajuster flux transmitral à un paramètre spécifique de relaxation

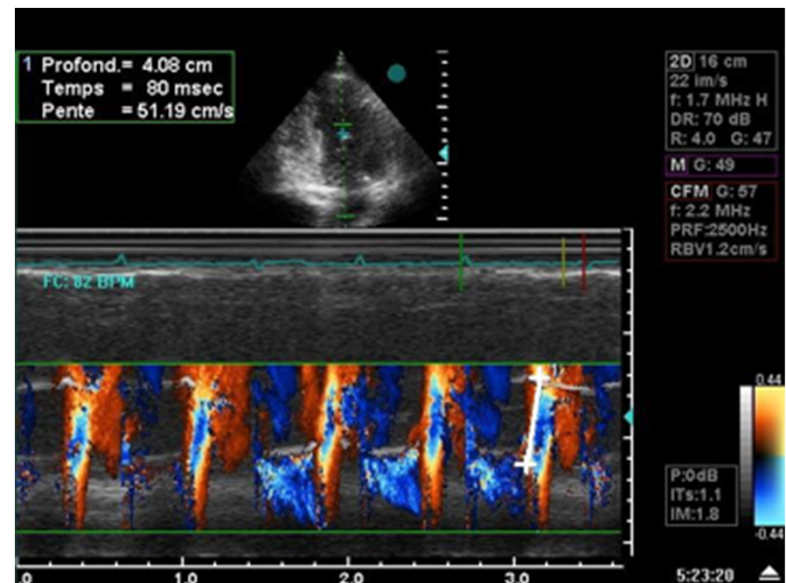


- Doppler pulsé tissulaire à l'anneau mitral (dT<sub>i</sub>)
- TM couleur de remplissage proto-diastolique du VG (V<sub>p</sub>)

DOPPLER TISSULAIRE À L'ANNEAU  
MITRAL (DTI)  
APICALE 4 CAVITÉS



TM COULEUR DE REMPLISSAGE PROTO-  
DIASTOLIQUE DU VG (VP)  
APICALE 4 CAVITÉS

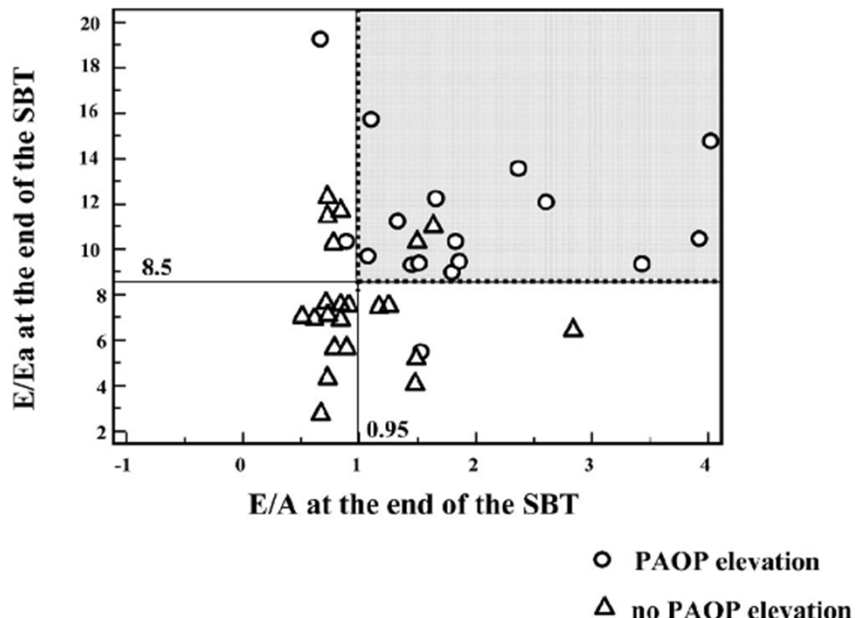


Trouble de relaxation si  $V_p < 45$  cm/s

Peu utilisé

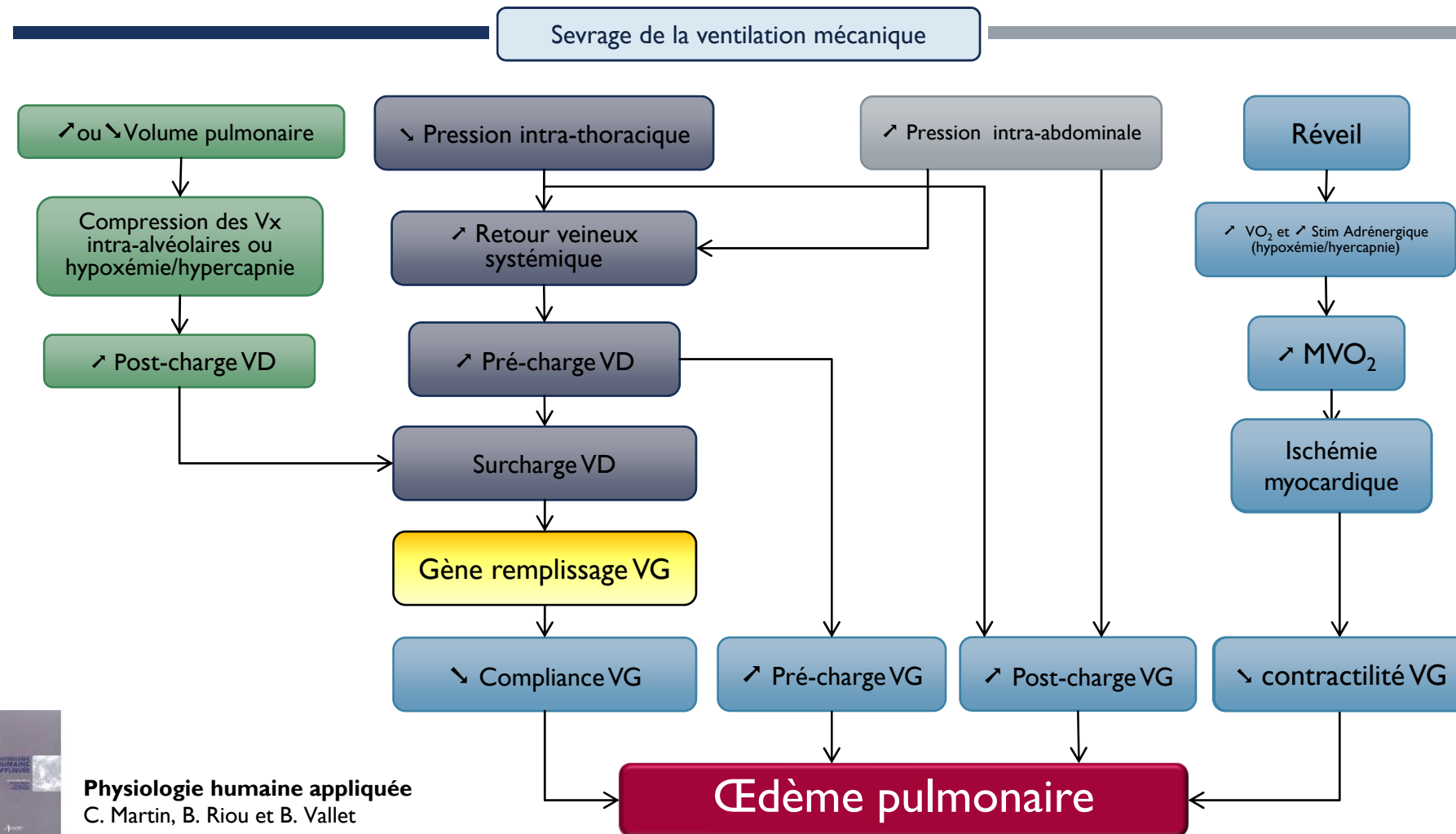
<b><u>FONCTION DIAST</u></b>	<b>Normal</b>	<b>Pseudo-normal (type 2)</b>	<b>Anomalie relaxation (type 1)</b>	<b>Anomalie compliance (type 3)</b>
<b>Rapport E/A</b>	> 1	> 1	< 1	> 2
<b>Tps décélérat° onde E</b>	160-240	160-240	> 240	< 160
<b>TRIV ms)</b>	70-120	70-120	> 120	< 70
<b>E/Ea</b>	<8	>15	>15	>15
<b>E/Vp</b>	<1.5	>2.5	>2.5	>2.5
<b>Rapport S/D</b>	>1	<1	>1	<1
<b>Durée Ap/Amit</b>	$A_{mit} > A_p$	$A_{mit} < A_p$	$A_{mit} > A_p$	$A_{mit} < A_p$

## PRÉDICTION DE L'AUGMENTATION DE PAPO AU SEVRAGE

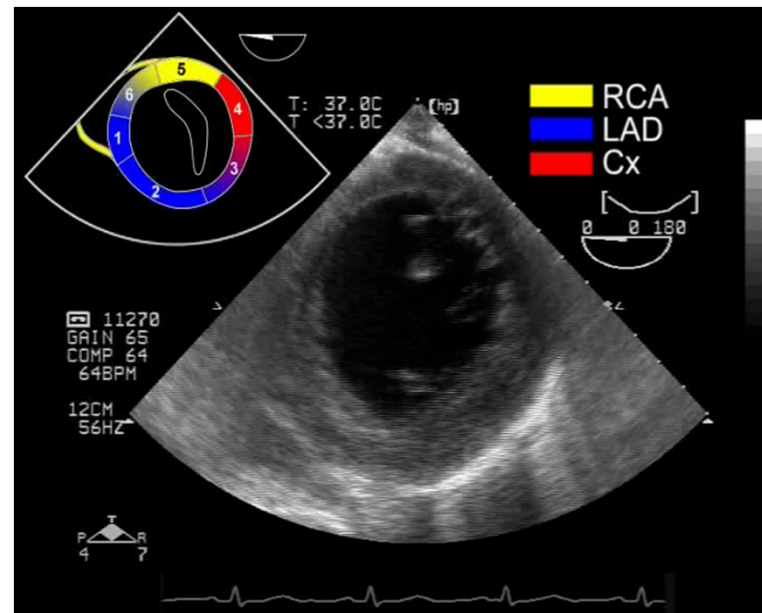
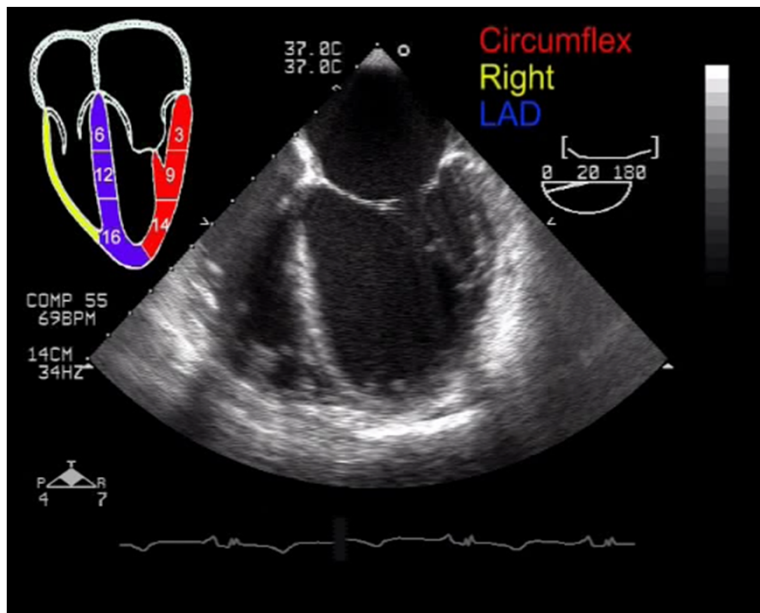


- E/A >0.95 fin épreuve de RS de 1h
  - Élevation PAPO
  - Se 88%; Sp 68%
- E/Ea >8.5 à la fin de l'épreuve de RS de 1h
  - Élevation PAPO
  - Se 94% Sp 73%
- La combinaison des 2 indices prédit l'augmentation de PAPO
  - Se 82%; Sp 91%.

Bouchra L. Crit Care Med 2009; 37:1696-1701



## ANALYSE SEGMENTAIRE ETO

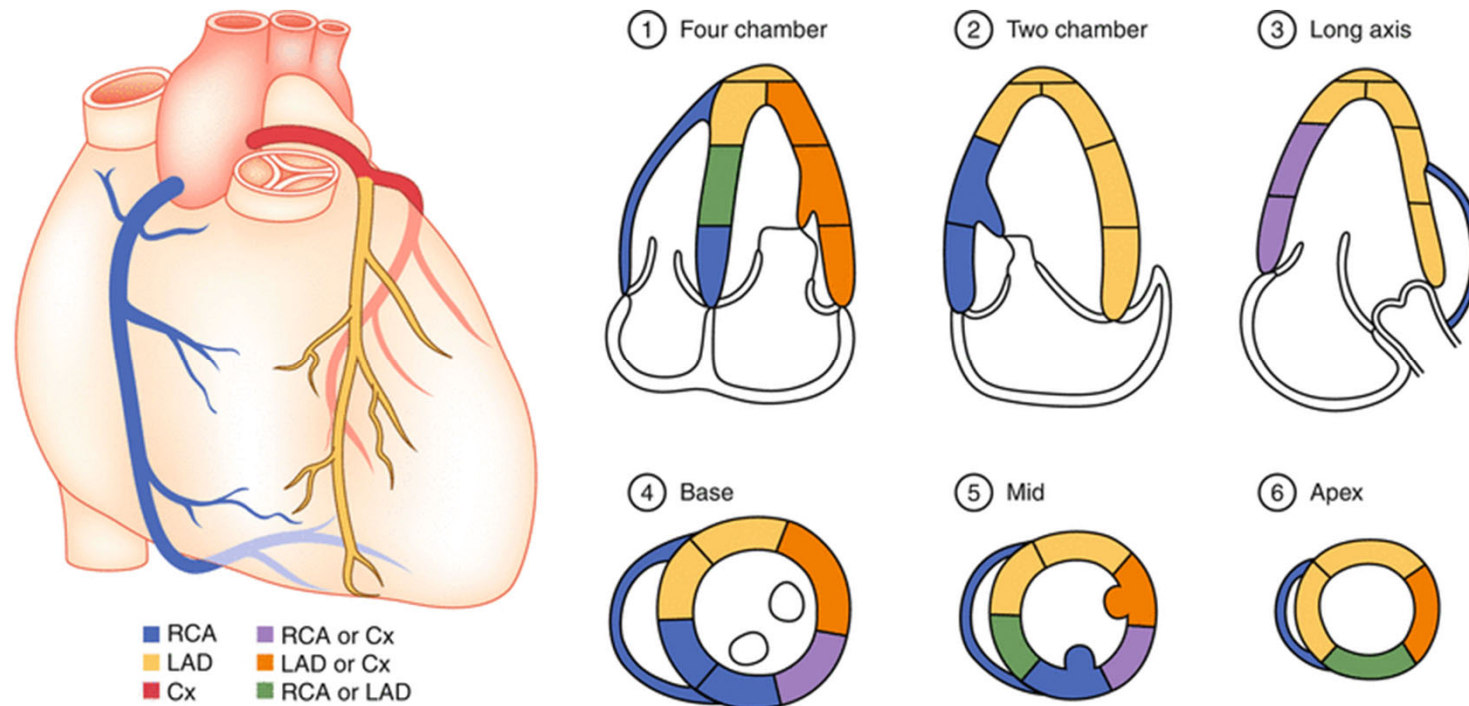


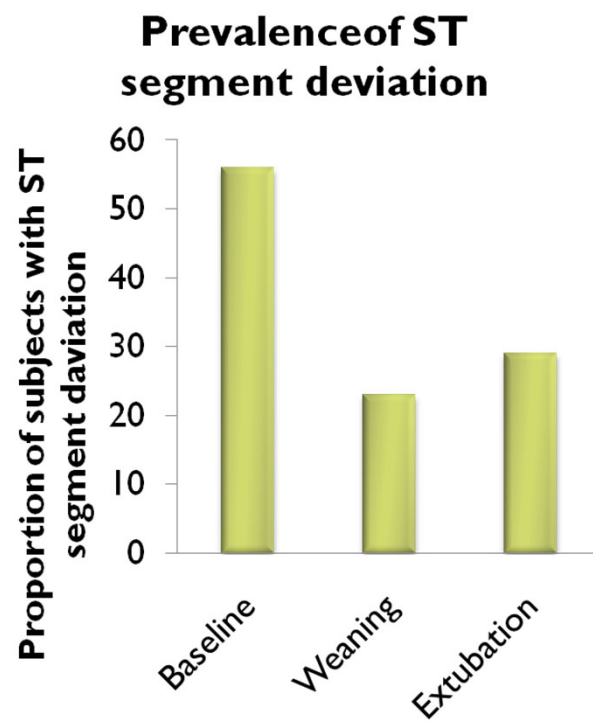
---

---

---

## ANALYSE SEGMENTAIRE ETT





- 43 patient, 21% maladie coronaire connue
- Ischémie souvent silencieuse
- Modifications du ST à l'intubation pronostique du sevrage



Frazier SK Heart Lung. 2006 Nov-Dec;35(6):363-73.

# AUTRES ÉTOLOGIES D'HYPOXÉMIE AU SEVRAGE DE LA VENTILATION

Intensive Care Med (2005) 31:734–737  
DOI 10.1007/s00134-005-2616-2

BRIEF REPORT

Chris Adamopoulos  
Matthew Tsagourias  
Kostoula Arvaniti  
Fotini Veroniki  
Dimitrios Matamis

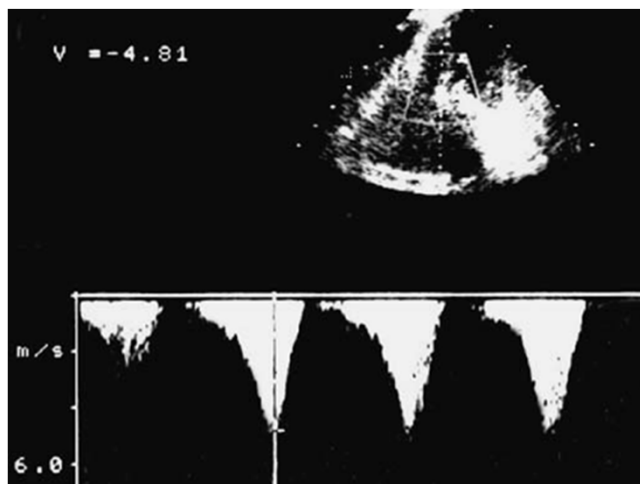
## Weaning failure from mechanical ventilation due to hypertrophic obstructive cardiomyopathy

- Case report
- Modifications cardiaques liées aux conditions de charge et aux vitesses des flux

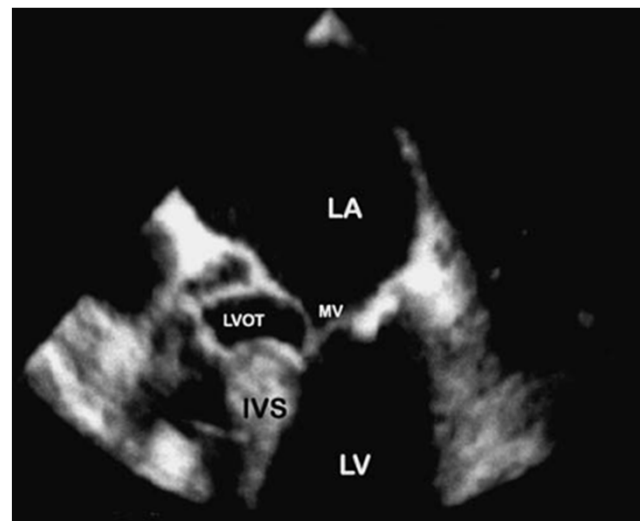
*Adamopoulos C. Intensive Care Med (2005) 31:734–737*

## HYPOXÉMIE BRUTALE AU SEVRAGE DE LA VENTILATION

**Obstacle dans la chambre de chasse:  
Accélération du flux transaortique  
(Vmax=4.81 m/s) . GRADmax =92 mmHg**



**Mouvement systolique antérieur de  
la grande valve mitrale**

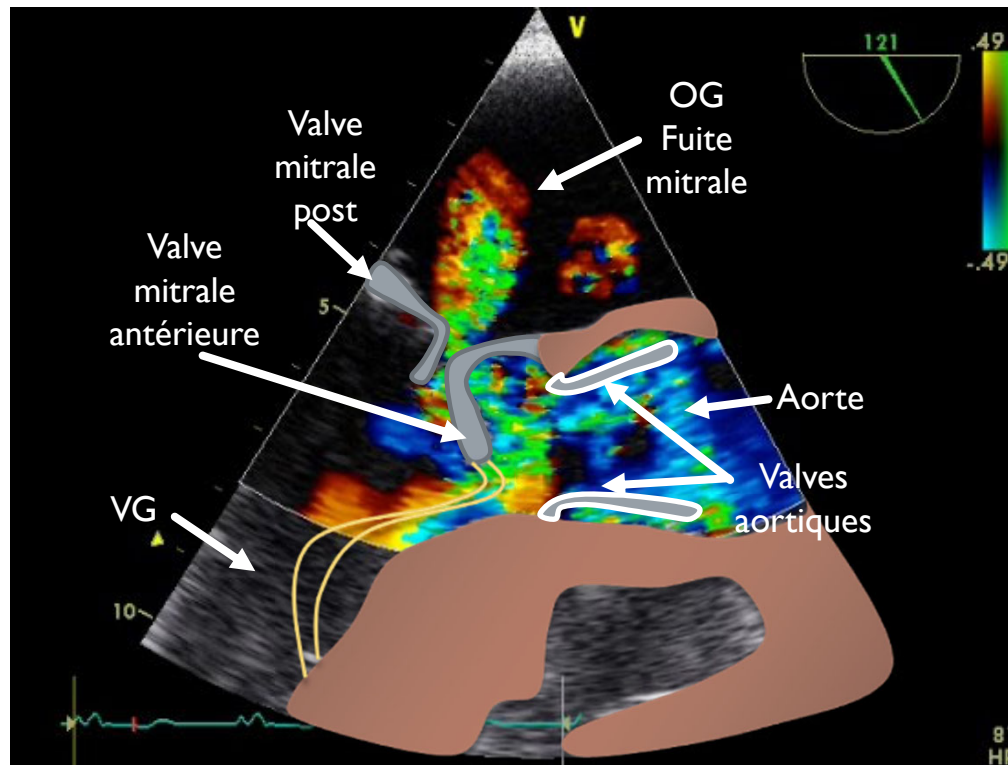


---

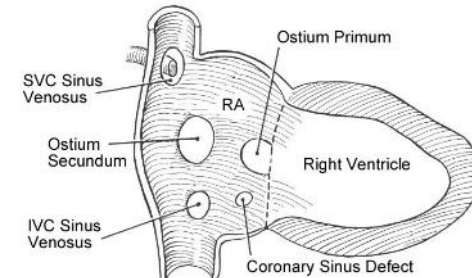
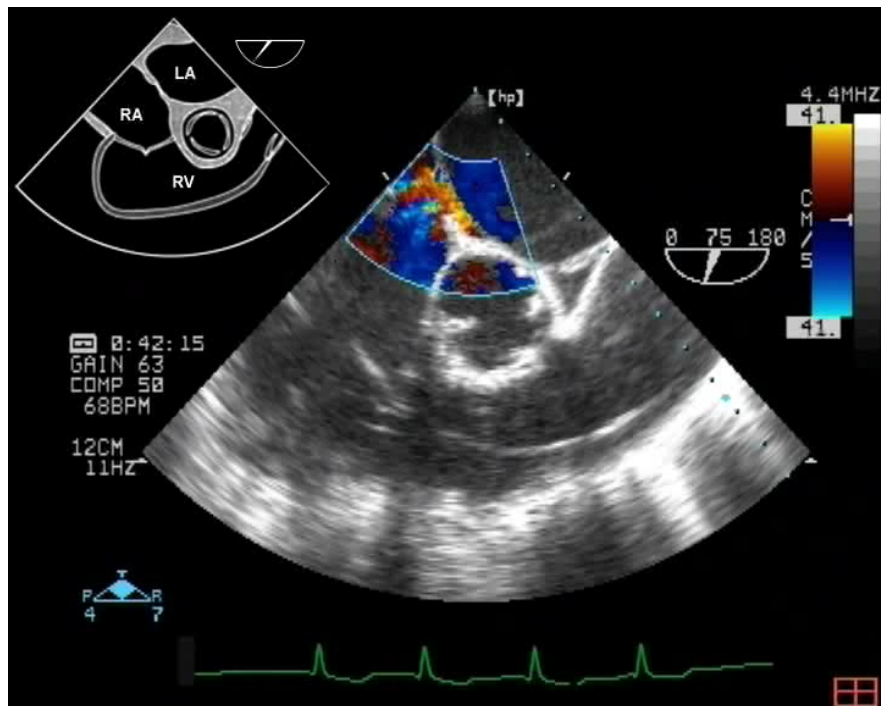
---

## HYPOXÉMIE BRUTALE AU SEVRAGE DE LA VENTILATION

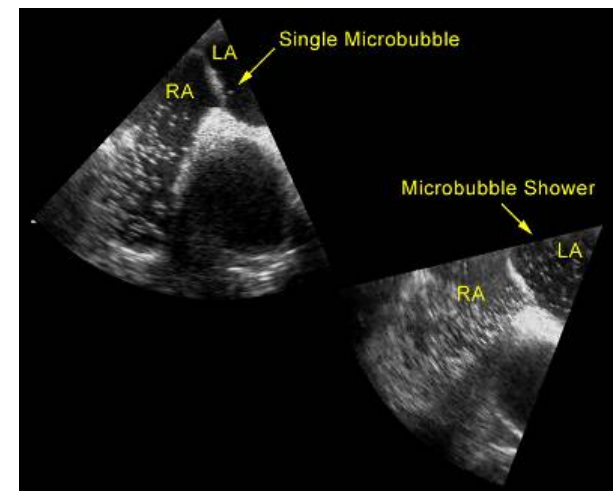
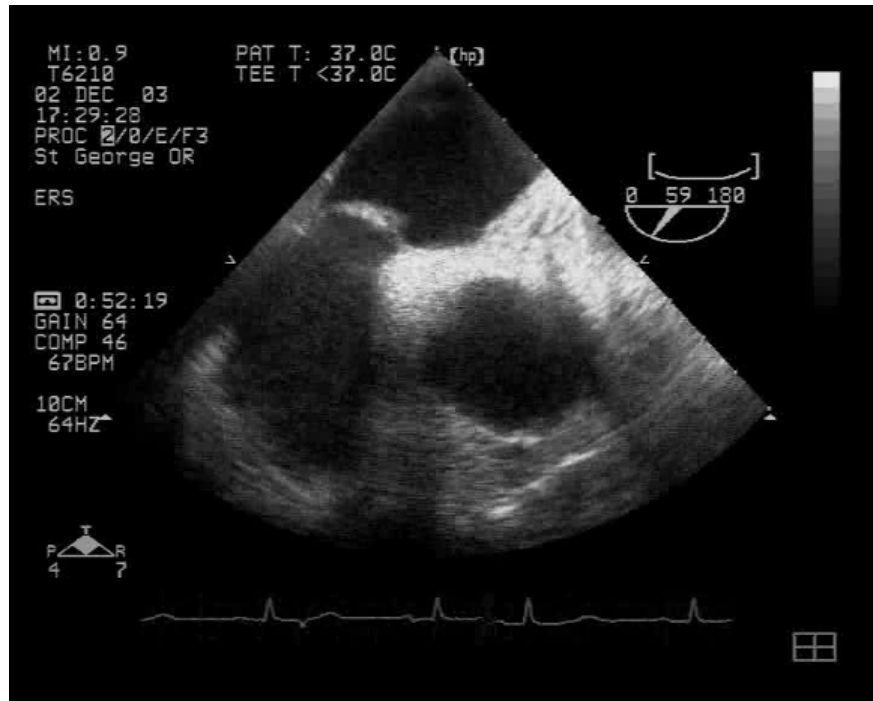




## FORAMEN OVALE PERMÉABLE (FOP)



## MANŒUVRE DE VALSALVA ET TEST DE CONTRASTE



---

## EPREUVE DE CONTRASTE

- Distinction Foramen Ovale Perméable (FOP) et Shunt Intra Pulmonaire (SIP)
  - FOP : passage immédiat (moins de 3 battements cardiaques) des microbulles dans les cavités gauches dès leur apparition dans les cavités droites
  - SIP : passage retardé (plus de 3 battements cardiaques)
- Mais...
  - FOP > 3 battements si dépendant de la ventilation
  - SIP < 3 battements si proximal

---

## CONCLUSION

- Le sevrage respiratoire peut être en échec dès les premières heures
  - Étiologie respiratoire
  - Modification des conditions de charge VG/VD +++
- ETT , ETO permettent d'évoquer le diagnostic
  - Rôle des indices combinés reste à valider dans cette indication
  - Limites classiques liées à une pathologie préexistante ou à des anomalies rythmiques
  - Cathéterisme de Swan-Ganz peut se révéler intéressant mais reste invasif
- Traitement vise à améliorer les conditions de charge
  - Déplétion hydrique, dérivés nitrés, inhibiteurs calciques, milrinone...